

は150cc/minの割合で酸素ガスを流し続け、窒素ガス中の酸素ガス濃度を微量酸素分析計により測定し、ほぼ一定値となったときを定常状態と判断して、酸素の拡散係数を算出した。

(3) 比抵抗試験

供試体全体を水に浸漬し、30分間、1時間、2時間および4時間後に供試体を水槽から取り出して、表面の水分を拭き取ってから供試体の重量および比抵抗を測定した。比抵抗試験は、供試体上下面にカルボキシメチルセルロースを塩水（濃度5%）で練ったゲル状の物質を塗った後、銅板を張り付け、交流付加電圧10mV、周波数範囲10mHz～100kHzでインピーダンスの測定を行い、1kHzにおけるインピーダンスの実数成分を比抵抗に換算した。

3. 実験結果および考察

3.1 吸水試験結果

図3の結果より、水セメント比、炉乾燥の温度、材齢により吸水係数の相違が認められた。

炉乾燥の温度が高くなると吸水係数が大きくなる。これは、空隙構造の変化だけに依存するのではなく、空隙に含まれる水分が非常に影響を与えるためと考えられる。図4より、吸水係数は開放空隙容積と密接な関係があり、半径42.0nm以上の開放空隙容積と最も高い相関性がある。半径42.0nm以上の範囲で遷移帶が多く存在することと、炉乾燥により半径42.0nm以下の空隙が減少し、半径42.0nm以上が多くなることによるためと思われる。ここで、開放空隙容積は次式で算出した。

$$V_a = (1 - \omega)(\varepsilon - v_s)$$

ここに、 V_a ：半径a nm以上の開放空隙容積(cc/cc)、 ω ：飽水率、 ε ：全空隙容積(cc/cc)、 v_s ：細孔径分布による半径a nm以下の空隙容積(cc/cc)。

3.2 酸素拡散試験

図5の結果より、吸水試験と同様に、水セメント比、炉乾燥の温度、材齢により吸水係数の相違が認められた。また炉乾燥の温度が高くなると酸素拡散係数が大きくなる。図6より、酸素拡散係数は半径42.0nm以上の開放空隙容積と密接な関係がある。この理由も吸水試験と同じと考えられる。

3.3 比抵抗試験

図7に比抵抗と吸水率の逆数との関係を示す。図より、浸漬前の供試体の含水比が大きいほど、吸水量が少くとも、比抵抗の値が小さくなる。これは、比抵抗は飽水している連続的な空隙容積と密接な関係があることによるためと考えられる。

4. まとめ

本実験結果より、気体・液体はセメント硬化体の半径42.0nm以上の開放空隙径で多く移動することと、イオンは飽水している連続的な空隙で移動することなどが明らかになったと思われる。

謝辞：最後に、細孔径分布の測定にご助言頂いた三菱マテリアル㈱研究所の方々、実験に協力を頂いた川上 康夫氏（日本技術開発）、岡田 真人氏（日本国土開発）に深謝致します。

参考文献：1) 羽原 俊祐：硬化コンクリートの組織および空隙構造と物性の関係に関する研究、1992 2) S. Kelham : A Water Absorption Test for Concrete、Mag. of Concrete Res., Vol. 40 No. 143、1988、pp. 106～110 3) C. D. Lawrence : Transport of Oxygen Through Concrete、Proc. British of Ceramic Soc.、1984.9、pp. 277～293

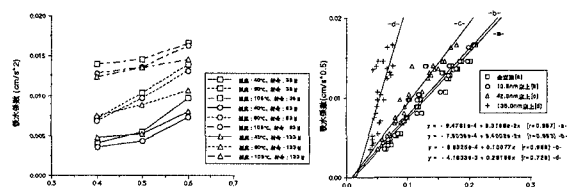


図3 吸水試験の結果

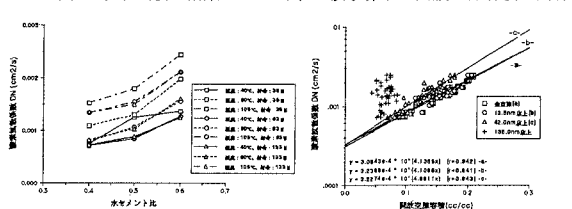


図4 吸水係数と開放空隙容積の関係

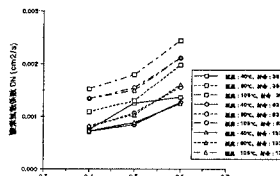


図5 酸素拡散試験の結果

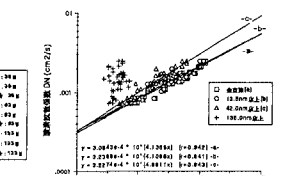


図6 酸素拡散係数と開放空隙容積の関係

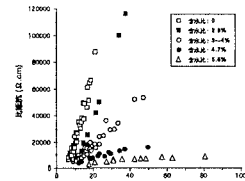


図7 比抵抗と吸水率の逆数の関係